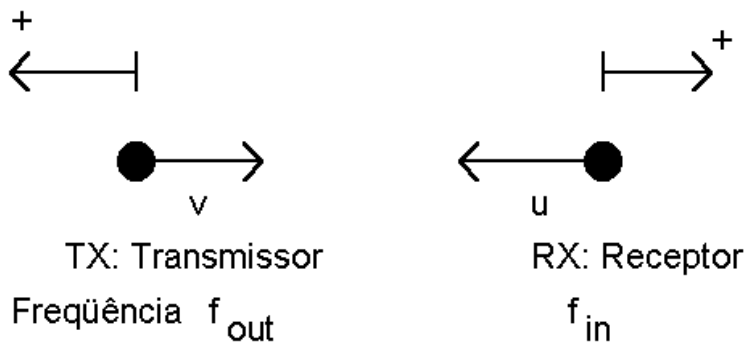


## RADAR DOPPLER PARA AUXÍLIO À NAVEGAÇÃO INERCIAL

O radar Doppler permite a determinação da velocidade terrestre  $\vec{R} = \vec{V}_e$  representada no sistema de coordenadas do corpo  $S_b$ , isto é,  $\vec{V}_{e,b}$ . O efeito Doppler foi postulado por Christian Doppler em 1842 e descrito formalmente por Armand Fizeau em 1848. A figura abaixo indica a direção positiva para deslocamento do transmissor (TX) e do receptor (RX) em uma geometria de afastamento um do outro. As velocidades  $u$  e  $v$  indicam que TX e RX estão a se aproximar um do outro. A frequência emitida por TX é  $f_{out}$ , a qual é recebida por RX como  $f_{in}$  devido ao movimento relativo entre ambos. O comprimento de onda transmitido  $\lambda = c/f_{out}$ , sendo  $c$  a velocidade de propagação da onda no meio.

### Efeito Doppler: geometria de afastamento entre TX e RX



A relação entre as frequências associadas a TX e RX,  $f_{out}$  e  $f_{in}$  respectivamente, devido ao efeito Doppler:

$$f_{in} = f_{out} \left( \frac{1 - u/c}{1 + v/c} \right)$$

O desvio Doppler  $\nu$  é a diferença de frequência:

$$\nu = f_{in} - f_{out}$$

Quando TX e RX movem-se um em direção ao outro com  $u = v = -V_R$  a relação entre frequências torna-se:

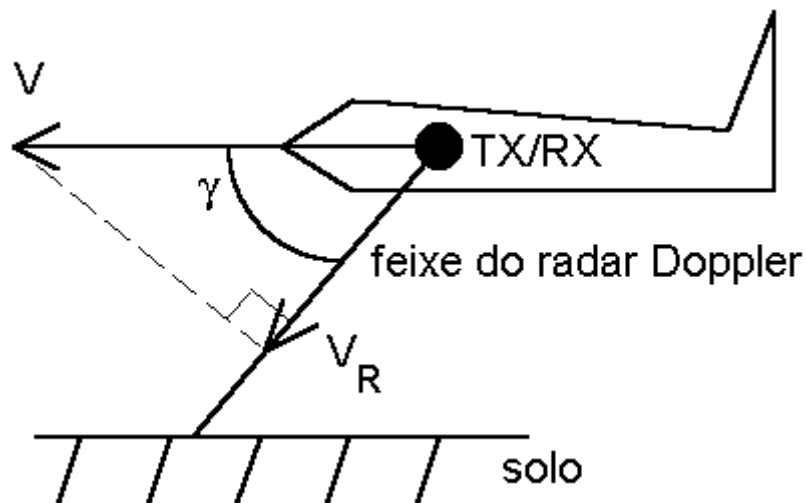
$$f_{in} = f_{out} \left( \frac{1 + V_R/c}{1 - V_R/c} \right) \Rightarrow f_{in} - \frac{V_R}{c} f_{in} = f_{out} + \frac{V_R}{c} f_{out} \Rightarrow f_{in} - f_{out} = \frac{V_R}{c} (f_{in} + f_{out})$$

$$f_{in} - f_{out} = \nu = \frac{V_R}{c} (\nu + f_{out} + f_{out}) \Rightarrow \nu \left( 1 - \frac{V_R}{c} \right) \approx \nu = 2 \frac{V_R}{c} f_{out}$$

e o desvio Doppler é então:

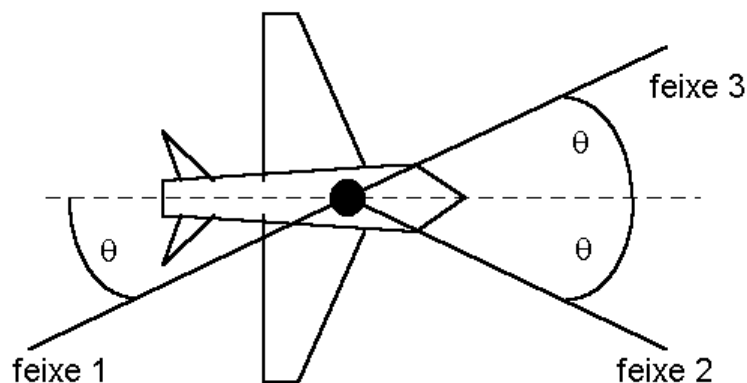
$$\nu = 2 \frac{V_R}{\lambda}$$

A figura abaixo mostra no plano vertical uma aeronave que se move com velocidade  $V$  paralela ao solo. Embarcados estão ambos TX e RX e o movimento na direção do feixe de radar Doppler é  $V_R = V \cdot \gamma$ :



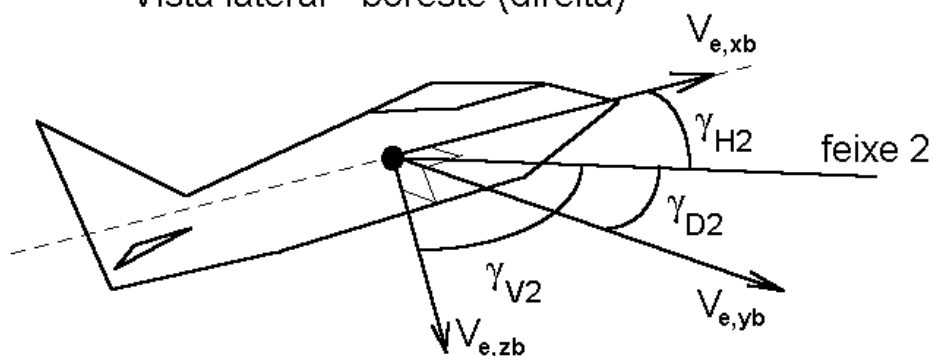
e o desvio Doppler correspondente é  $\nu = 2 \frac{V \cdot c \gamma}{\lambda}$ . A próxima figura mostra os três feixes de radar Doppler simetricamente dispostos em relação ao sistema de coordenadas do corpo  $S_b$  da aeronave e iluminando o solo adiante e à ré da aeronave, na chamada configuração Janus (divindade helênica com rosto na parte da frente e de trás da cabeça).

Configuração de feixes Janus - vista superior



A figura a seguir indica os componentes de  $V_{e,b}$  e a orientação do feixe 2 em relação a  $S_b$ .

Vista lateral - boreste (direita)



Os três feixes têm orientações simétricas em relação a  $S_b$  e, portanto, os ângulos  $\gamma_{H_i}, \gamma_{D_i}, \gamma_{V_i}, i=1,2,3$  são idênticos para cada feixe em relação às *direções dos eixos* de  $S_b$ . Desta forma, a velocidade terrestre *descrita ao longo dos feixes de radar*  $[V_{R1} \ V_{R2} \ V_{R3}]^T$  se relaciona com a descrição no sistema do corpo  $V_{e,b} = [V_{e,xb} \ V_{e,yb} \ V_{e,zb}]^T$  mediante:

$$\begin{bmatrix} V_{R1} \\ V_{R2} \\ V_{R3} \end{bmatrix} = \begin{bmatrix} -V_{e,xb}c\gamma_H + V_{e,yb}c\gamma_D + V_{e,zb}c\gamma_V \\ V_{e,xb}c\gamma_H + V_{e,yb}c\gamma_D + V_{e,zb}c\gamma_V \\ V_{e,xb}c\gamma_H - V_{e,yb}c\gamma_D + V_{e,zb}c\gamma_V \end{bmatrix} = \begin{bmatrix} -c\gamma_H & c\gamma_D & c\gamma_V \\ c\gamma_H & c\gamma_D & c\gamma_V \\ c\gamma_H & -c\gamma_D & c\gamma_V \end{bmatrix} \begin{bmatrix} V_{e,xb} \\ V_{e,yb} \\ V_{e,zb} \end{bmatrix}$$

Dado que, conforme já visto,  $v_i = 2 \frac{V_{Ri}}{\lambda}, i=1,2,3$ , as medidas de desvio Doppler ao longo de cada feixe são:

$$\begin{bmatrix} v_1 \\ v_2 \\ v_3 \end{bmatrix} = \frac{2}{\lambda} \begin{bmatrix} -c\gamma_H & c\gamma_D & c\gamma_V \\ c\gamma_H & c\gamma_D & c\gamma_V \\ c\gamma_H & -c\gamma_D & c\gamma_V \end{bmatrix} \begin{bmatrix} V_{e,xb} \\ V_{e,yb} \\ V_{e,zb} \end{bmatrix} = \mathbf{A} V_{e,b}$$

Computada a inversa de  $\mathbf{A}$ , temos então o resultado desejado:

$$\begin{bmatrix} V_{e,xb} \\ V_{e,yb} \\ V_{e,zb} \end{bmatrix} = \frac{\lambda}{2} \begin{bmatrix} -\frac{1}{2c\gamma_H} & \frac{1}{2c\gamma_H} & 0 \\ 0 & \frac{1}{2c\gamma_D} & -\frac{1}{2c\gamma_D} \\ \frac{1}{2c\gamma_V} & 0 & \frac{1}{2c\gamma_V} \end{bmatrix} \begin{bmatrix} v_1 \\ v_2 \\ v_3 \end{bmatrix} \Rightarrow \begin{cases} V_{e,xb} = \lambda(v_2 - v_1)/(4c\gamma_H) \\ V_{e,yb} = \lambda(v_2 - v_3)/(4c\gamma_D) \\ V_{e,zb} = \lambda(v_1 + v_3)/(4c\gamma_V) \end{cases}$$

Para fins de auxílio ao sistema de navegação inercial com mecanização NED, é necessário obter  $V_{e,NED}$  usando as medidas de desvio Doppler e, para tal, há que se determinar a atitude  $\mathbf{D}_{NED}^b$ , ou instalar o equipamento TX/RX do radar Doppler sobre plataforma estabilizada mecanicamente e alinhada com  $S_{NED}$ .

As vantagens do radar Doppler para auxílio à navegação inercial são:

- Fornecer fluxo contínuo de desvios Doppler e, portanto de  $V_e$ ;
- Trata-se de sistema autônomo, não requerendo auxílio externo ao veículo, como estações de terra no caso de auxílio baseado em rádio-navegação, e opera nos pólos da Terra;
- Velocidade média é acurada;
- Opera em praticamente qualquer condição meteorológica, exceto em condições especiais de chuva;
- Irradia potência relativamente pequena (por exemplo, em relação a um radar de mapeamento);
- Não requer alinhamento inicial ou aquecimento previamente à operação;

h) Permite amortecer as oscilações de Schuler em INS causadas por bias nos acelerômetros (vide lista de exercício).

Como desvantagens podemos citar:

- a) Requer conhecimento acurado da atitude para fins de integração com INS;
- b) A exatidão na determinação de  $V_e$  degrada com o tempo se a atitude for determinada por meios puramente inerciais, cujos erros aumentam sem limite.
- c) Operando de forma isolada não permite navegação acurada, por prover medidas instantâneas ruidosas.

A integração com a velocidade horizontal terrestre provinda da solução do INS é mecanizada como a seguir:

$$\dot{V}_N = A_{SN} + \frac{V_N}{R_N + h} V_D - (2\Omega \sin \lambda + \frac{V_E}{R_E + h} \tan \lambda) V_E + K_N (V_N - V_{N, \text{Doppler}})$$

$$\dot{V}_E = A_{SE} + (2\Omega \sin \lambda + \frac{V_E}{R_E + h} \tan \lambda) V_N + (2\Omega \cos \lambda + \frac{V_E}{R_E + h}) V_D + K_E (V_E - V_{E, \text{Doppler}})$$